



东南大学 毫米波国家重点实验室
State Key Laboratory of Millimeter Waves

综合课程设计

第二讲

2022年 9月12日



回顾

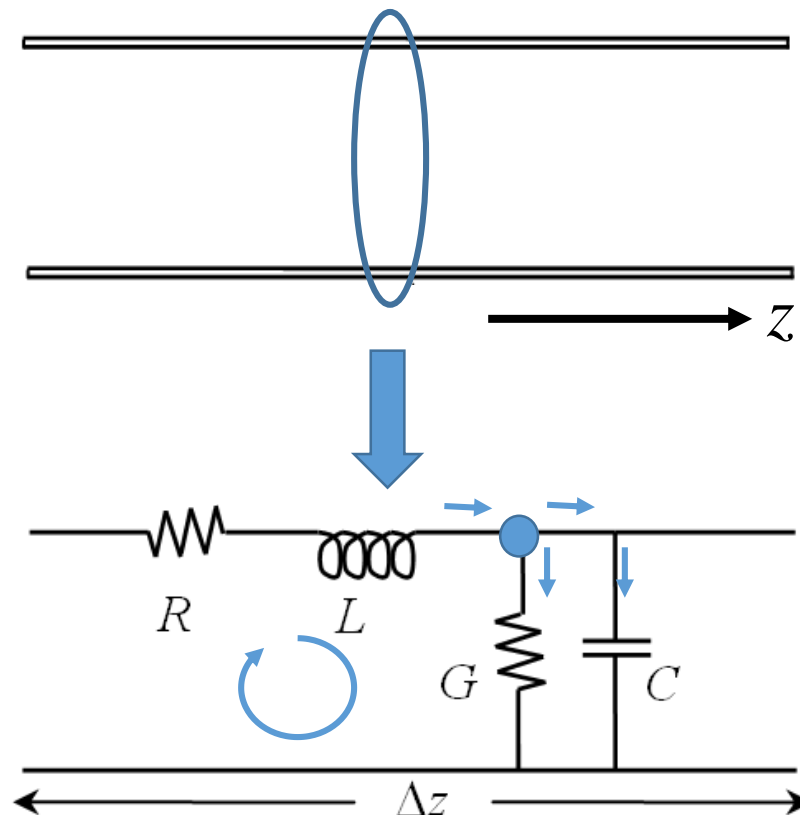
$$\frac{d^2 V(z)}{dz^2} - \gamma^2 V(z) = 0$$

$$\frac{d^2 I(z)}{dz^2} - \gamma^2 I(z) = 0$$

$$V(z) = V_0^+ e^{-\gamma z} + V_0^- e^{\gamma z}$$

$$I(z) = I_0^+ e^{-\gamma z} + I_0^- e^{\gamma z}$$

$$\gamma = \sqrt{(R + j\omega L)(G + j\omega C)}$$
$$= \alpha + j\beta \quad \text{复传播常数}$$







特性阻抗 $Z_0 = \frac{R + j\omega L}{\gamma} = \sqrt{\frac{R + j\omega L}{G + j\omega C}}$ 微波电路与系统中的传输线基本选用50欧姆特性阻抗

$$\frac{V_0^+}{I_0^+} = Z_0 = \frac{V_0^-}{I_0^-} \quad I(z) = \frac{V_0^+}{Z_0} e^{-\gamma z} - \frac{V_0^-}{Z_0} e^{\gamma z}$$

波长 $\lambda = 2\pi / \beta$

相速 $v_p = \omega / \beta = \lambda f$



• 无耗传输线参数 $R = 0, G = 0$

传播常数 $\gamma = \sqrt{(R + j\omega L)(G + j\omega C)} = j\omega\sqrt{LC} = j\beta$

波长 $\lambda = \frac{2\pi}{\beta} = \frac{2\pi}{\omega\sqrt{LC}}$

相速 $v_p = \frac{\omega}{\beta} = \frac{1}{\sqrt{LC}}$

特性阻抗 $Z_0 = \sqrt{\frac{R + j\omega L}{G + j\omega C}} = \sqrt{\frac{L}{C}}$



端接负载的无耗传输线

端接负载的无耗传输线

线上总电压:

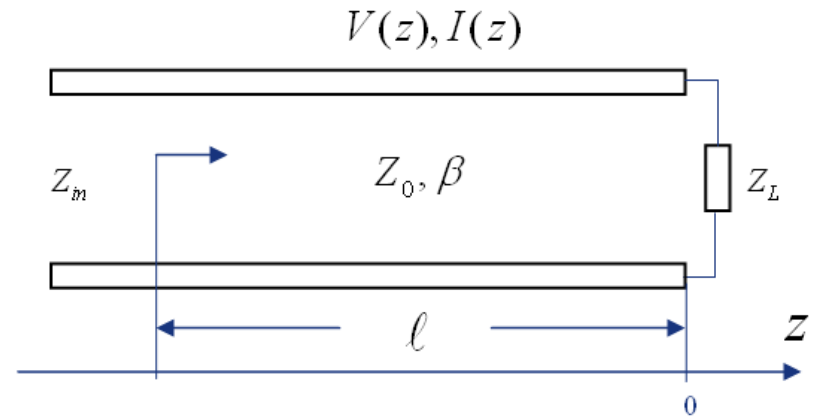
$$V(z) = V_0^+ e^{-j\beta z} + V_0^- e^{j\beta z}$$

线上总电流:

$$I(z) = \frac{V_0^+}{Z_0} e^{-j\beta z} - \frac{V_0^-}{Z_0} e^{j\beta z}$$

设负载在 $z=0$ 处:

$$Z_L = \frac{V(0)}{I(0)} = \frac{V_0^+ + V_0^-}{V_0^+ - V_0^-} Z_0$$



$$V(z) = V_0^+ (e^{-j\beta z} + \Gamma_0 e^{j\beta z})$$

$$I(z) = \frac{V_0^+}{Z_0} (e^{-j\beta z} - \Gamma_0 e^{j\beta z})$$

电压反射系数:

$$\Gamma_0 = \frac{V_0^-}{V_0^+} = \frac{Z_L - Z_0}{Z_L + Z_0}$$

当 $Z_L = Z_0$ 时, $\Gamma_0 = 0$, 此时无反射波, 我们称为传输线匹配了。



由 $\Gamma_0 = \frac{Z_L - Z_0}{Z_L + Z_0}$ 可以得到:

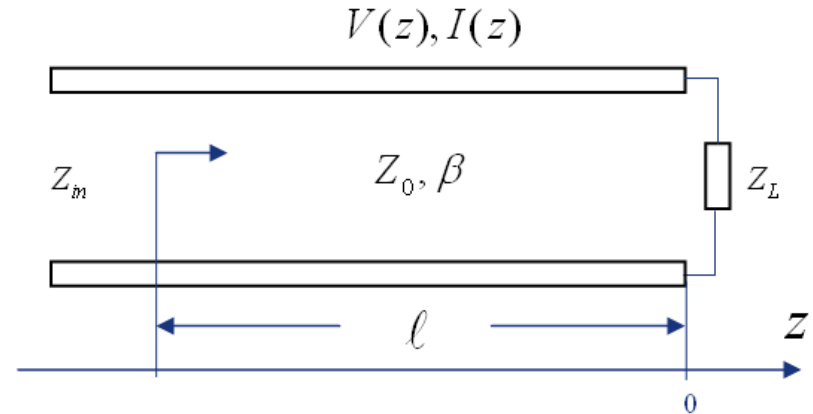
$$Z_{in} = Z_0 \frac{Z_L + jZ_0 \tan \beta l}{Z_0 + jZ_L \tan \beta l}$$

传输线阻抗方程

$\beta l \rightarrow$ 电长度

假如传输线匹配了, 即 $Z_L = Z_0$, 则 $Z_{in} = Z_0$ 。

在高频电路中, 传输线的特征阻抗 Z_0 一般为50欧姆。



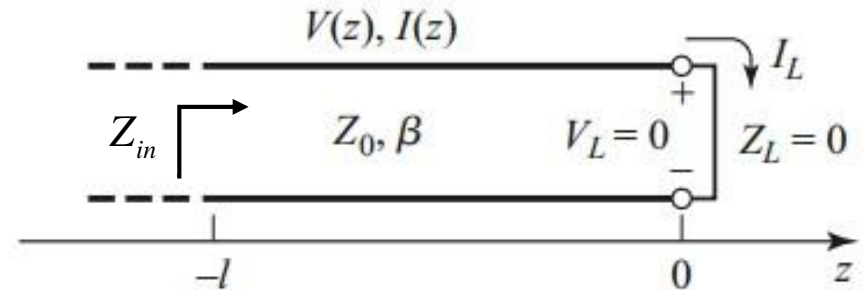


几种特殊情况下的无耗传输线

几种特殊情况下的无耗传输线

■ 当 $Z_L = 0$ 时:

$$\Gamma_0 = \frac{Z_L - Z_0}{Z_L + Z_0} \rightarrow \Gamma_0 = -1$$



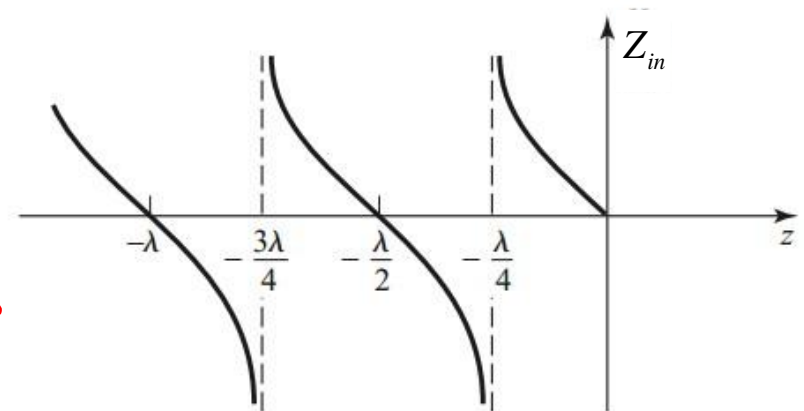
传输线上电压、电流分布:

$$V(z) = V_0^+ \cdot (e^{-j\beta z} - e^{j\beta z}) = -2jV_0^+ \sin \beta z \quad P = \frac{1}{2} \text{Re}\{VI^*\} = 0$$

$$I(z) = \frac{V_0^+}{Z_0} \cdot (e^{-j\beta z} + e^{j\beta z}) = \frac{2V_0^+}{Z_0} \cos \beta z \quad \text{无能量传输}$$

输入阻抗 $Z_{in} = jZ_0 \tan \beta l$

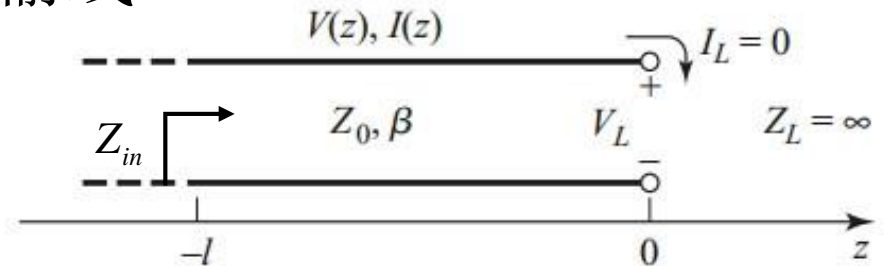
一小段终端短路的传输线可以等效为电感



几种特殊情况下的无耗传输线

- 当 $Z_L = \infty$ 时:

$$\Gamma_0 = \frac{Z_L - Z_0}{Z_L + Z_0} \rightarrow \Gamma_0 = 1$$

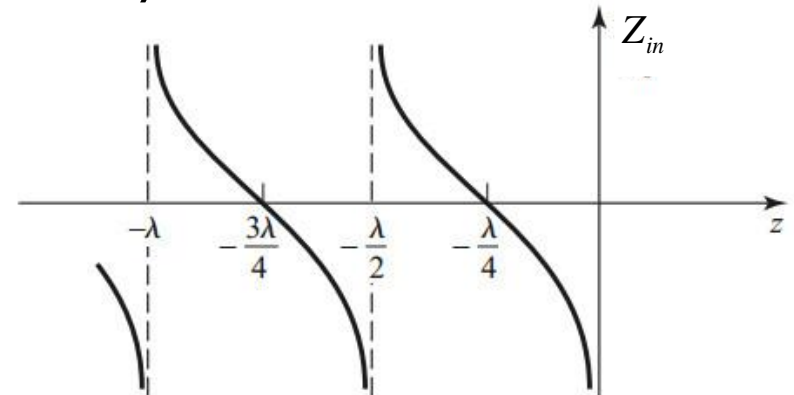


传输线上电压、电流分布:

$$V(z) = V_0^+ \cdot (e^{-j\beta z} + e^{j\beta z}) = 2V_0^+ \cos \beta z \quad P = \frac{1}{2} \text{Re}\{VI^*\} = 0$$

$$I(z) = \frac{V_0^+}{Z_0} \cdot (e^{-j\beta z} - e^{j\beta z}) = \frac{-2jV_0^+}{Z_0} \sin \beta z$$

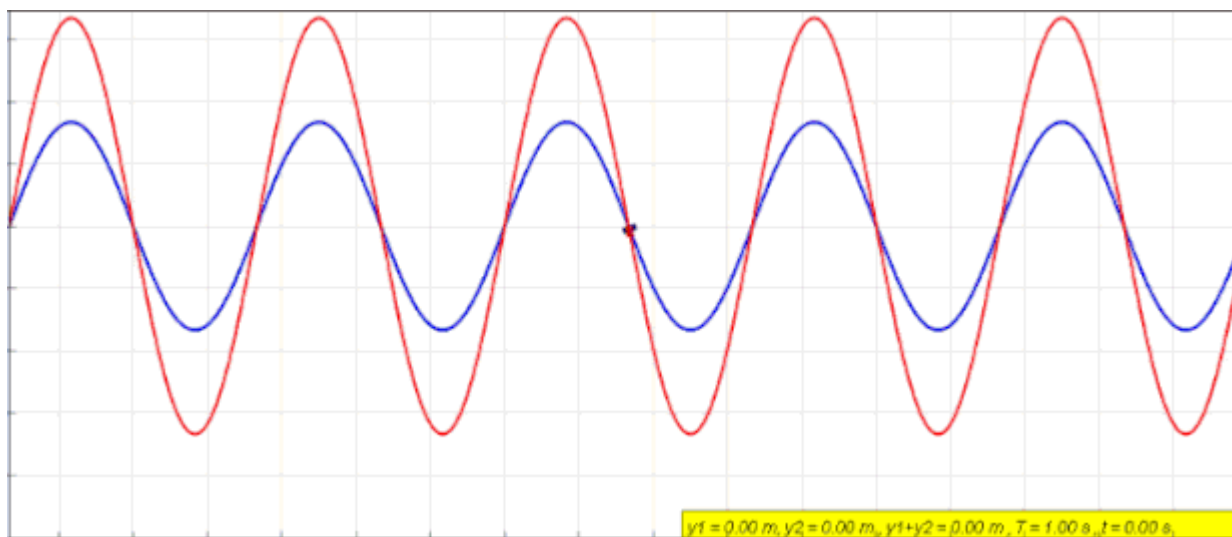
输入阻抗 $Z_{in} = -jZ_0 \cot \beta l$



一小段终端开路的传输线可以等效为电容



驻波的形成



几种特殊情况下的无耗传输线

- 当 $l = \frac{\lambda}{2}$ 时:

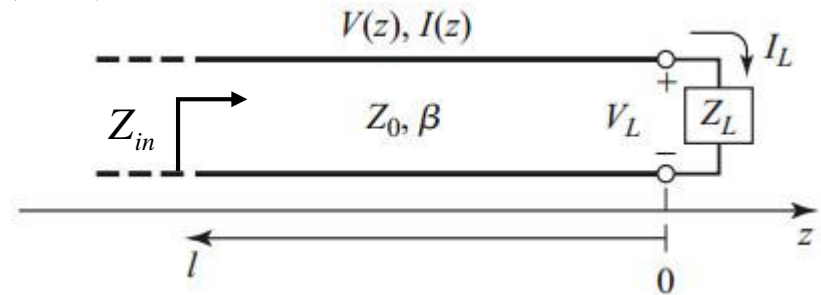
由 $Z_{in} = Z_0 \frac{Z_L + jZ_0 \tan \beta l}{Z_0 + jZ_L \tan \beta l}$ 有:

$$Z_{in} = Z_L$$

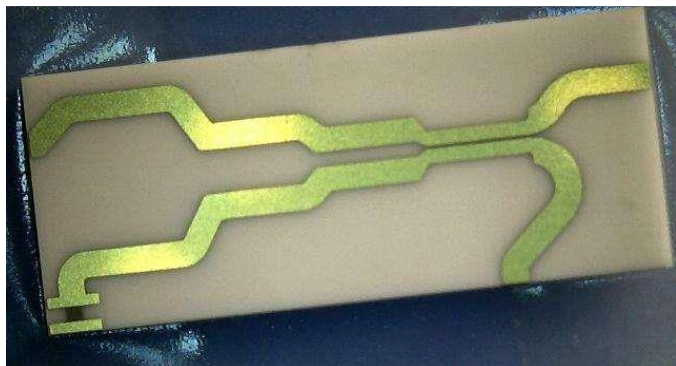
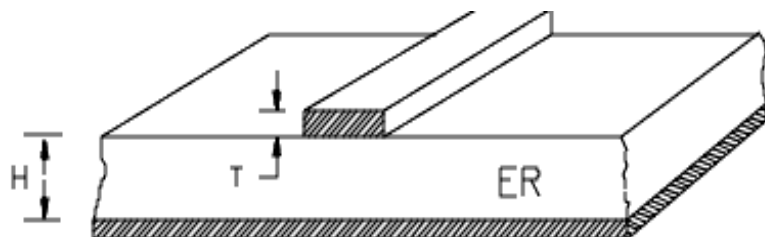
- 当 $l = \frac{\lambda}{4}$ 时:

$$Z_{in} = \frac{Z_0^2}{Z_L}$$

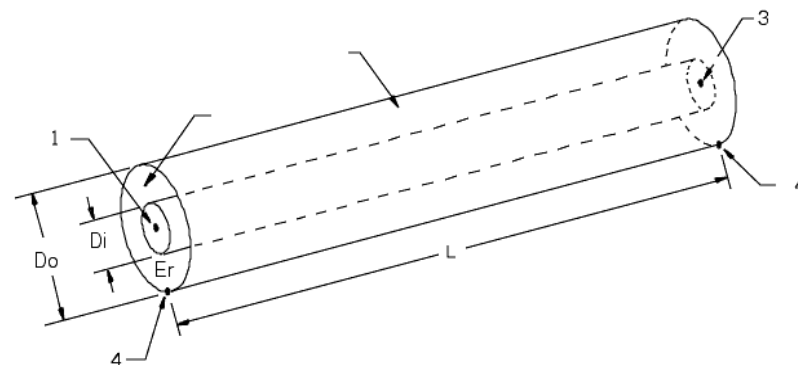
四分之一波长阻抗变换器



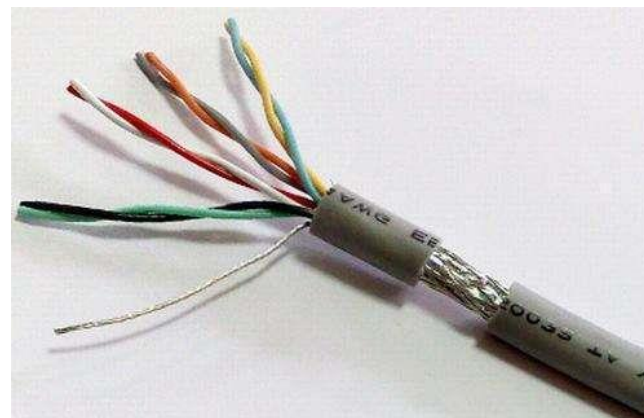
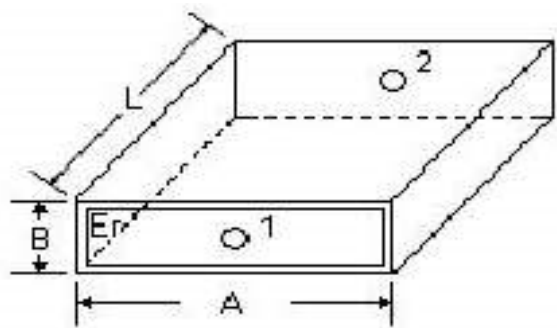
- 常见的传输线



微带线



同轴线



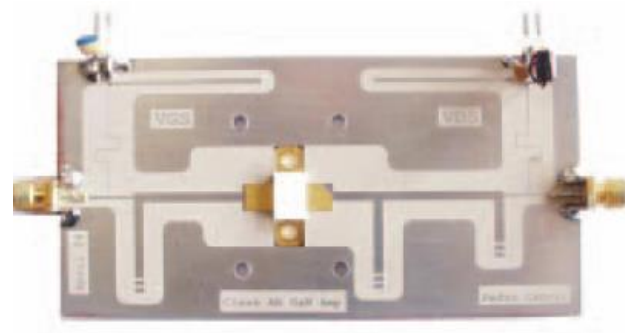
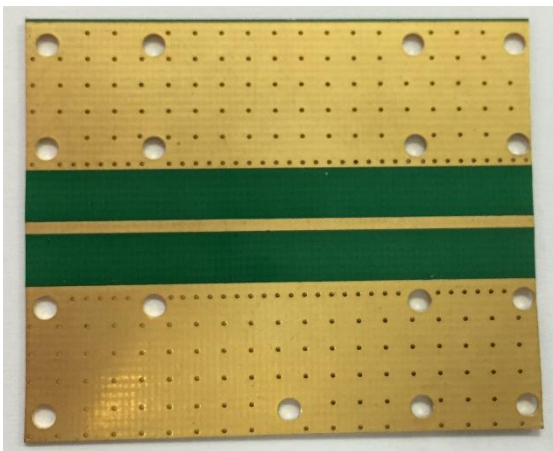
金属波导

双绞线

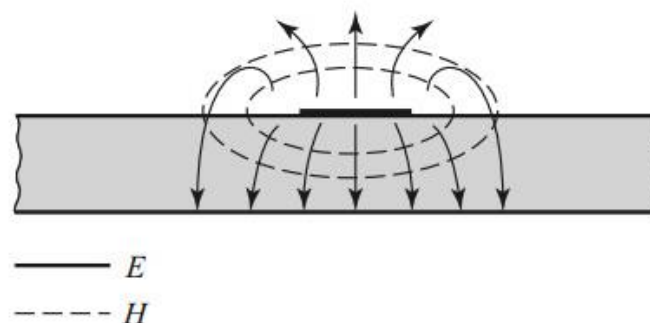
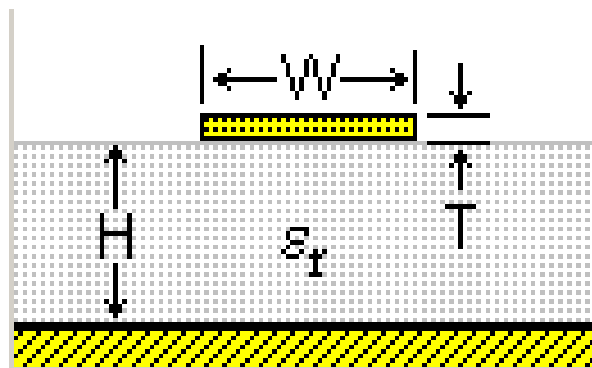
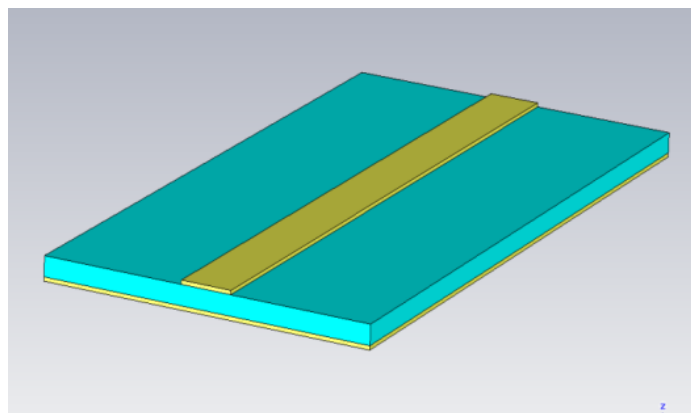


一、微带线

微带线是一种最流行的平面传输线。它容易与其它无源和有源的微波器件集成。



微带线的结构：厚度为 H 的介质基片上制作宽度为 W 、厚度为 T 、长度为 L 的导体带；基片有接地板。





常用的介质基片(介电常数和损耗角正切):

* 氧化铝陶瓷: $\varepsilon_r = 9.5 \sim 10$, $\tan \delta = 0.0003$

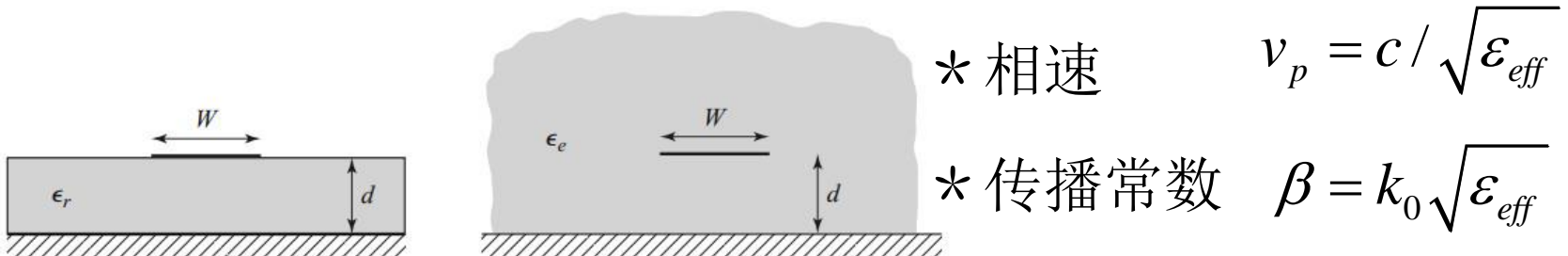
* 聚四氟乙烯: $\varepsilon_r = 2.1$, $\tan \delta = 0.0004$

* 聚四氟乙烯玻璃纤维板: $\varepsilon_r = 2.55$, $\tan \delta = 0.008$

* 砷化镓（单片集成电路）: $\varepsilon_r = 13$, $\tan \delta = 0.006$

* FR-4环氧玻璃布层压板: $\varepsilon_r = 4.5$, $\tan \delta = 0.002$

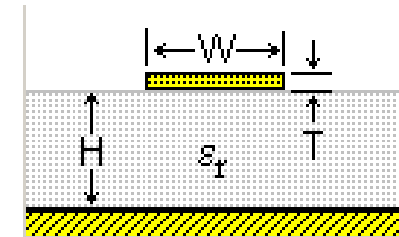
- 导体上部为空气，下面为介质基片——场大部分在介质片内，少部分在空气中——非纯TEM。
- 微带线的严格场解是由混合TM-TE波组成的。但是在绝大多数实际应用中，由于电介质基片非常薄，因此其场是准TEM的，即基本上与静态场相同。可以采用准静态法进行分析。引入有效介电常数。



- 相关的计算公式

有效介电常数：（ $T \ll H$ ）

$$\epsilon_{eff} = \frac{\epsilon_r + 1}{2} + \frac{\epsilon_r - 1}{2} \frac{1}{\sqrt{1 + 12H/W}}$$



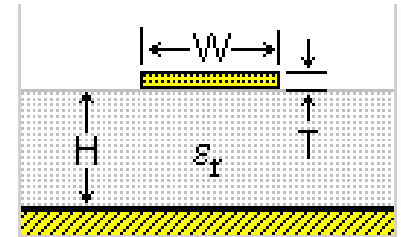
给定微带线的尺寸，计算特征阻抗：

$$Z_0 = \frac{60}{\sqrt{\epsilon_{eff}}} \ln\left(\frac{8H}{W} + \frac{W}{4H}\right) \quad W/H \leq 1$$

$$\frac{120\pi}{\sqrt{\epsilon_{eff}} [W/H + 1.393 + 0.667 \ln(W/H + 1.444)]} \quad W/H \geq 1$$

- 相关的计算公式

给定特征阻抗和介电常数，计算 W/H ：



$$W / H < 2$$

$$\frac{W}{H} = \frac{8e^A}{e^{2A} - 2}$$

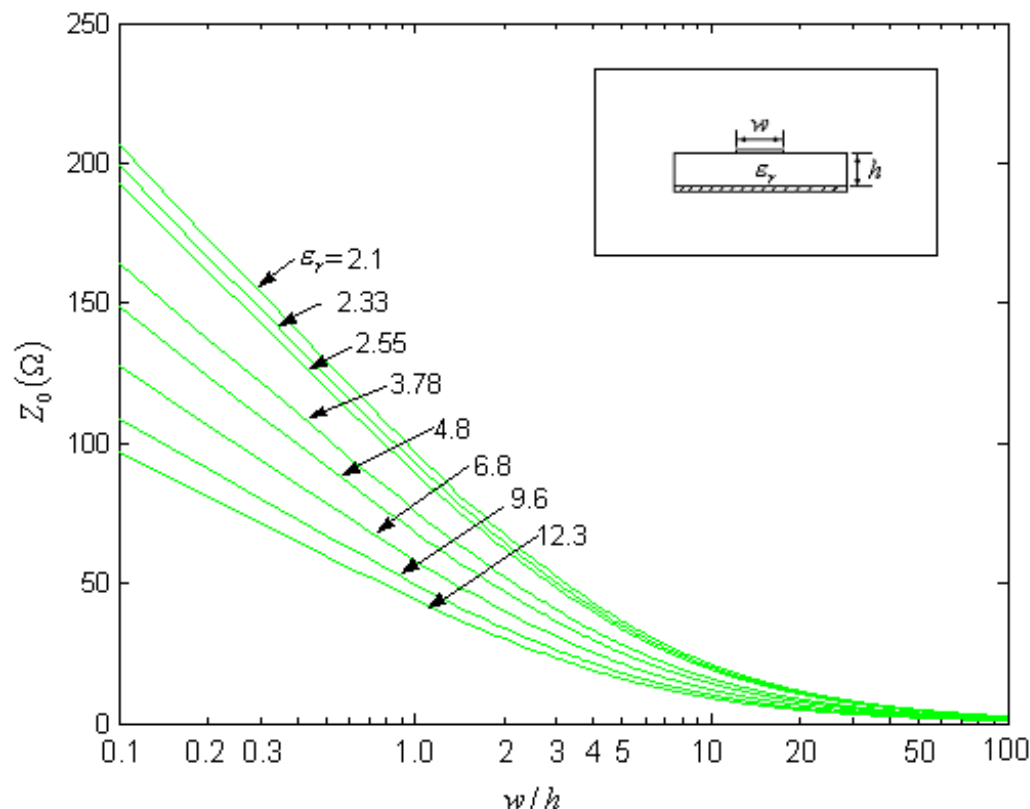
$$\frac{W}{H} = \frac{2}{\pi} \left[B - 1 - \ln(2B - 1) + \frac{\epsilon_r - 1}{2\epsilon_r} \left\{ \ln(B - 1) + 0.39 - \frac{0.61}{\epsilon_r} \right\} \right] \quad W / H > 2$$

其中，

$$A = \frac{Z_0}{60} \sqrt{\frac{\epsilon_r + 1}{2}} + \frac{\epsilon_r - 1}{\epsilon_r + 1} \left(0.23 + \frac{0.11}{\epsilon_r} \right)$$

$$B = \frac{377\pi}{2Z_0\sqrt{\epsilon_r}}$$

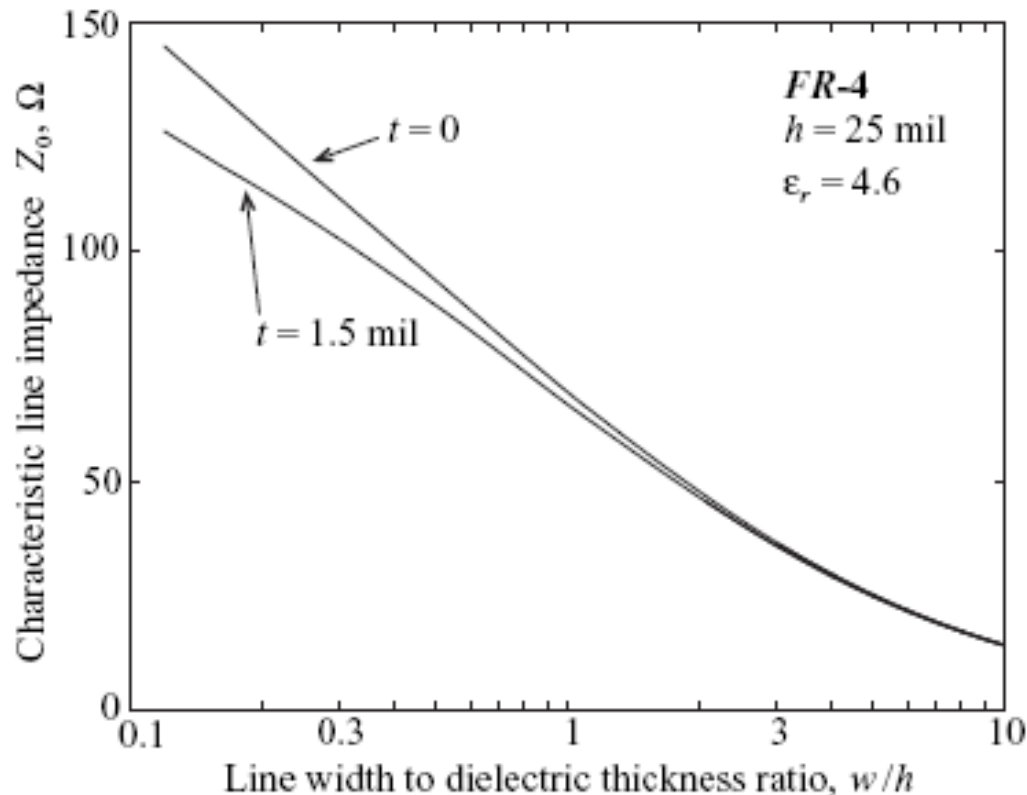
微带线特性阻抗与 w/h 的关系



微带线的特性阻抗随着 w/h 增大而减小；相同尺寸条件下， ϵ_r 越大，特性阻抗越小。



微带线特性阻抗与导带厚度的关系



微带线的导体厚度对特性阻抗有影响，导体的相对宽度越窄，受影响越大。



微带线计算工具

TXLINE 2001 - Microstrip

Microstrip | Stripline | CPW | CPW Ground | Round Coaxial | Slotline | Coupled MSLine | Coupled Stripline

Material Parameters

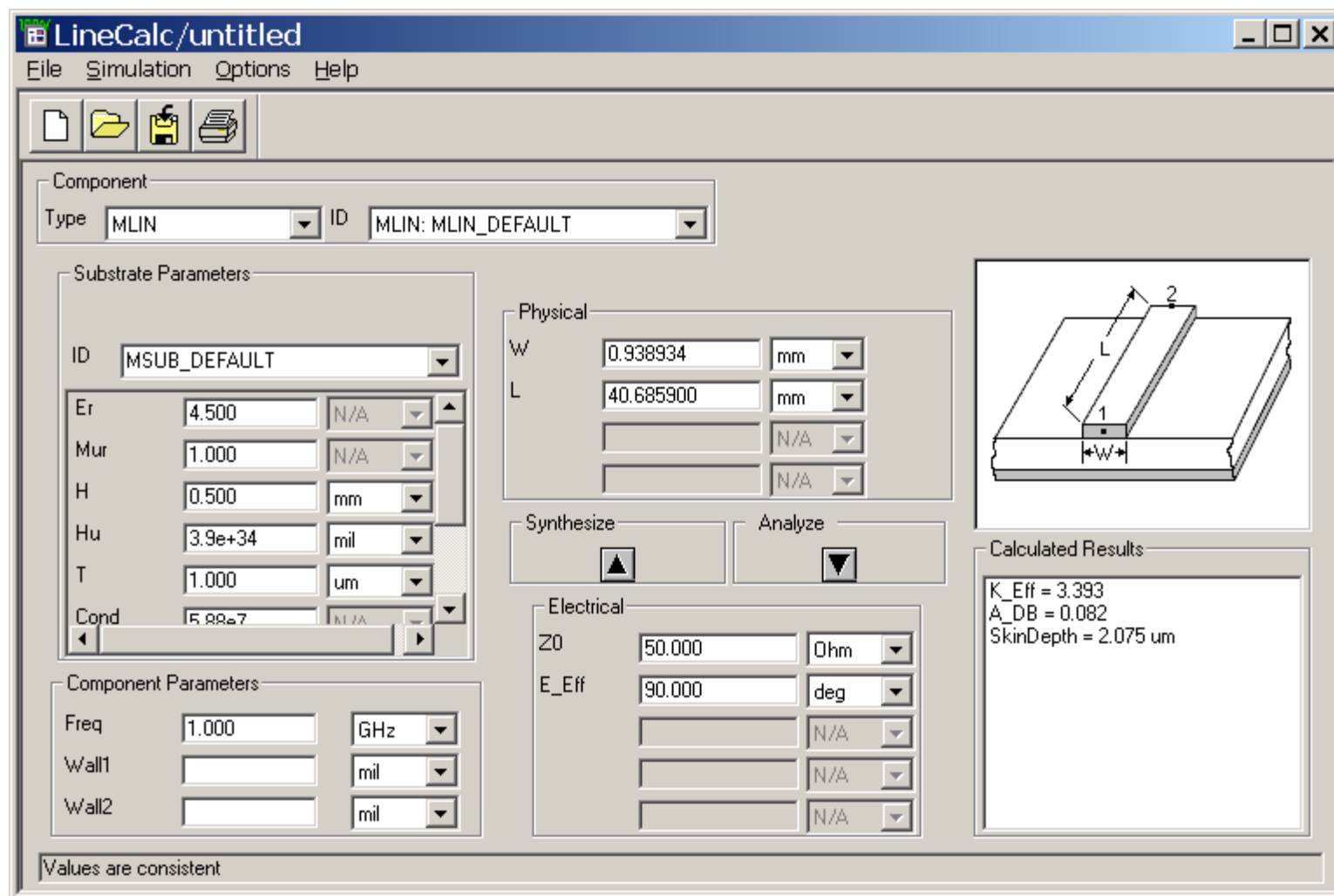
Dielectric: RT/Duroid 5880
Dielectric Constant: 4.5
Loss Tangent: 0.02
Conductor: Copper
Conductivity: Silver, Copper, Gold, Aluminum, Nickel

Electrical Characteristics

Impedance: 50 Ohms
Frequency: 10 GHz
Electrical Length: 90 deg
Propagation Constant: 180 deg/m
Effective Diel. Const.: 10
Loss: 10 dB/m

Physical Characteristic

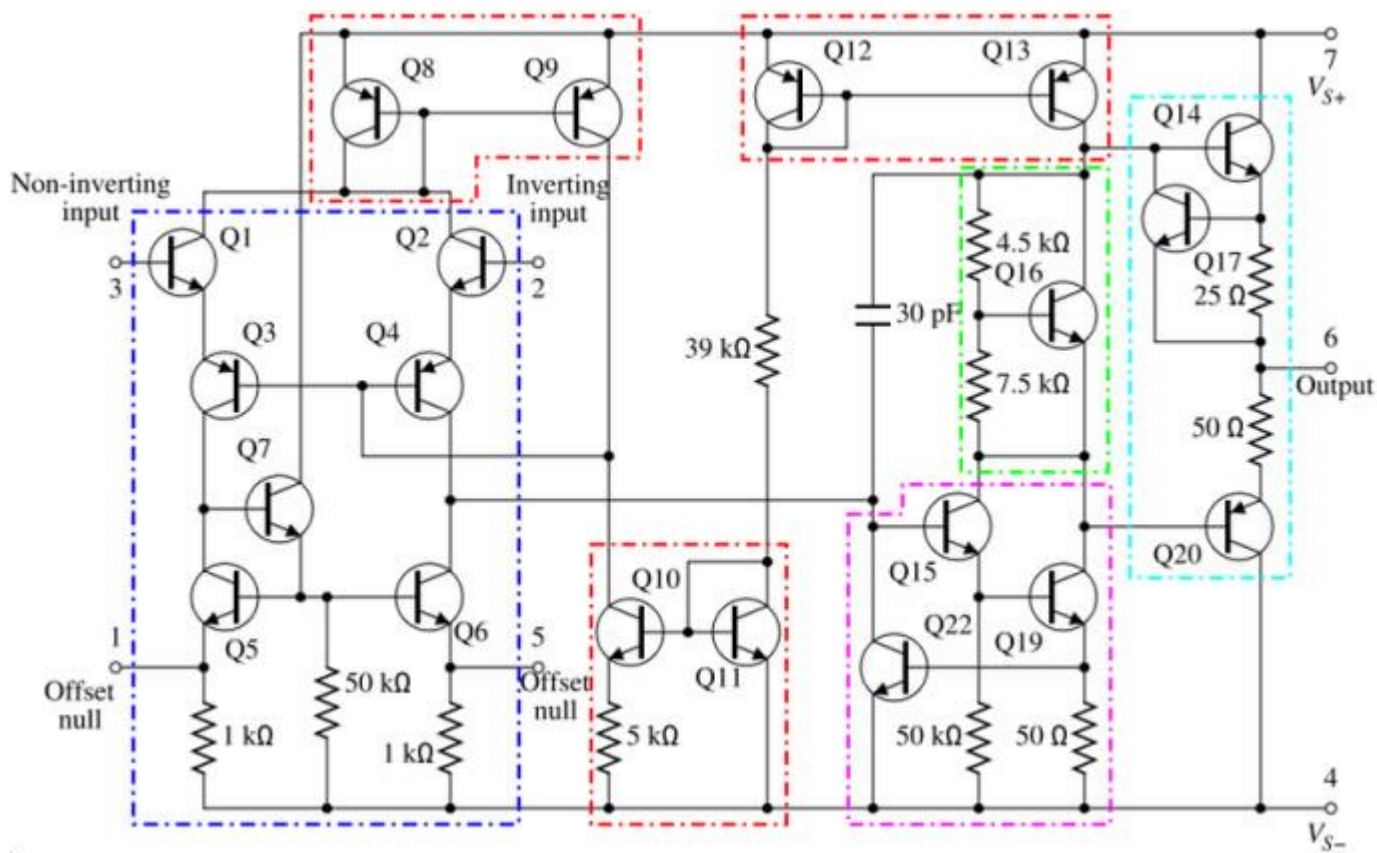
Physical Length (L): 4.0036 mm
Width (W): 0.942 mm
Height (H): 0.5 mm
Thickness (T): 0.036 mm



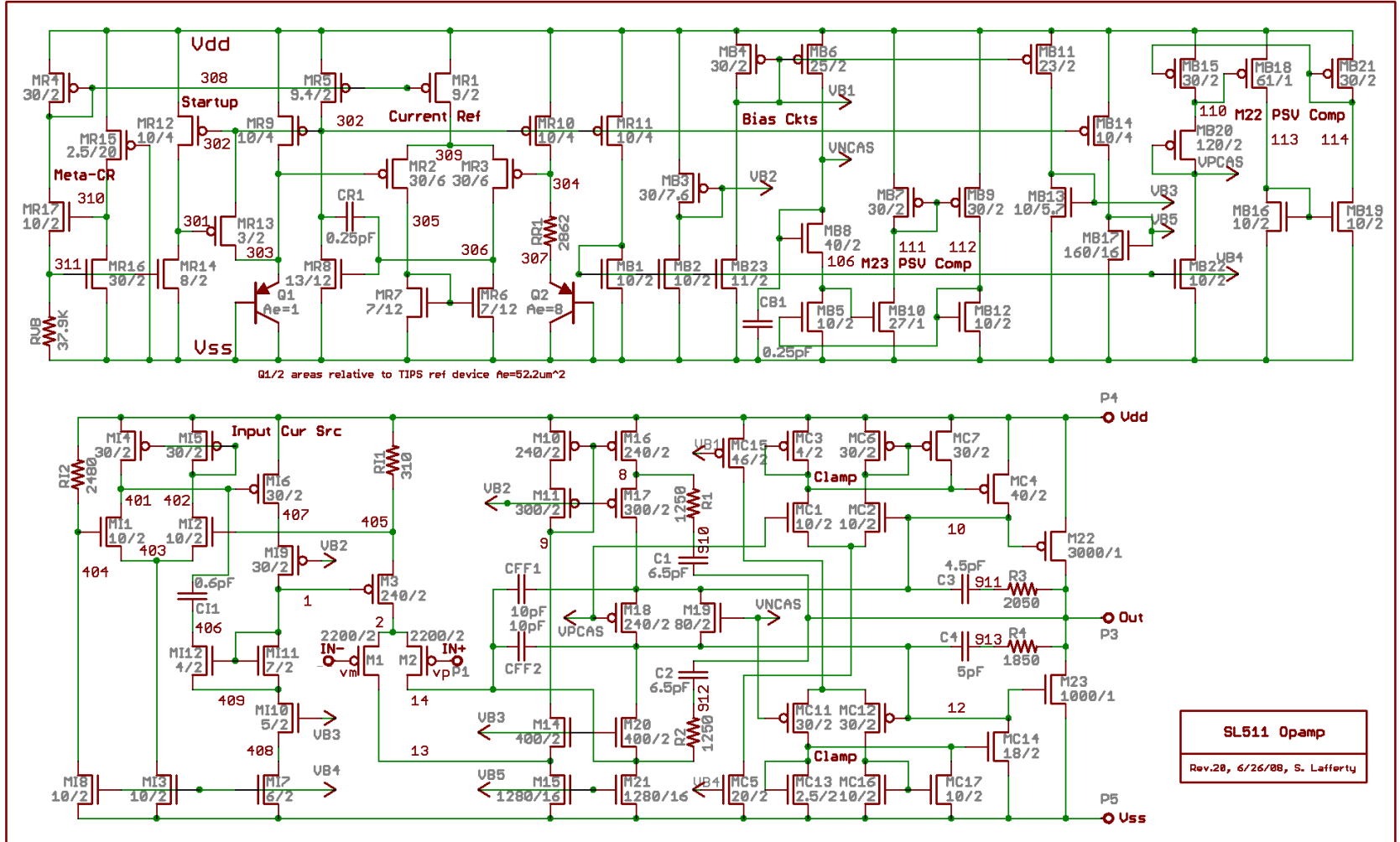


二、微波网络

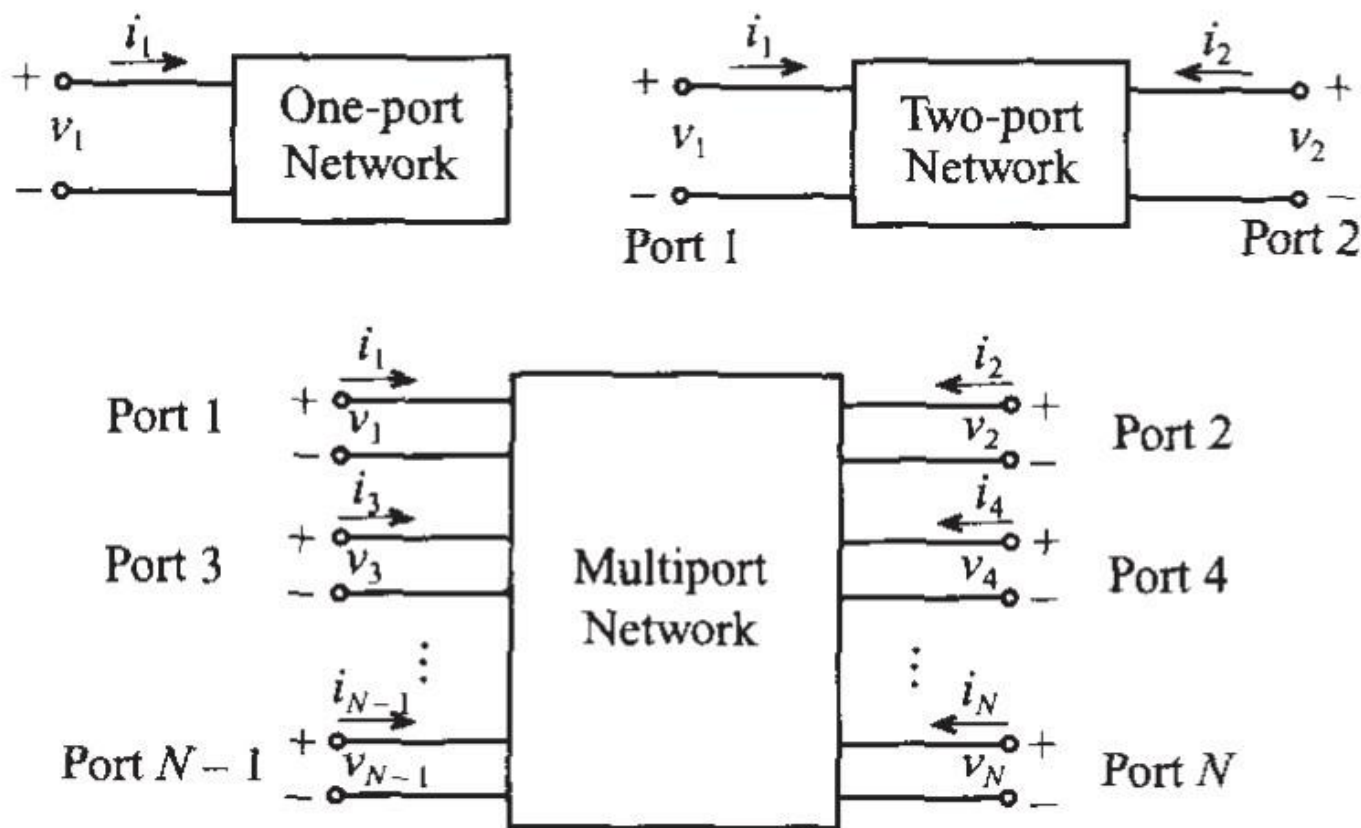
某放大器原理图



某运算放大器原理图

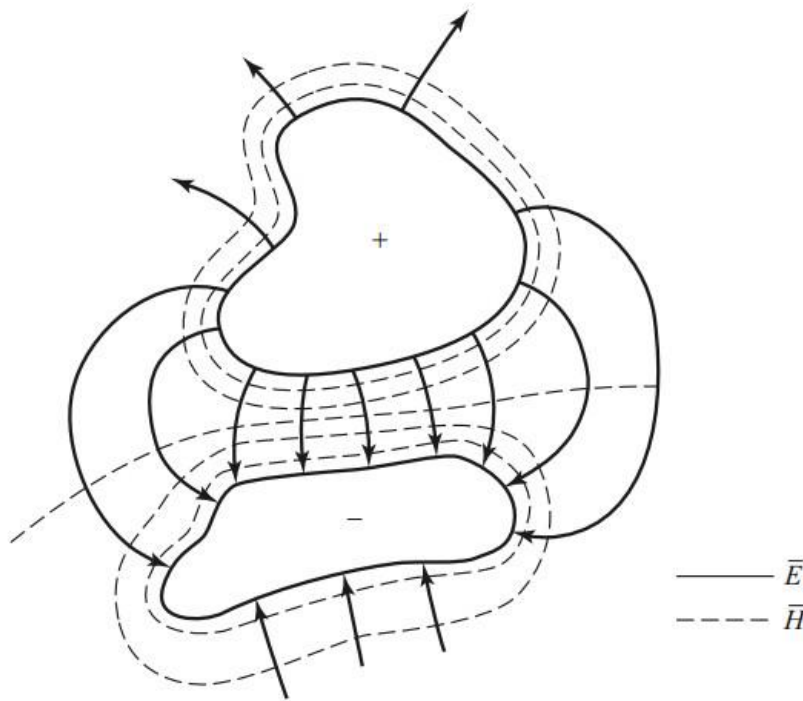


工程上将功能模块或电路等效成“黑匣子”，利用端口参数（如电流、电压等）对“黑匣子”进行表征。



阻抗矩阵

对于TEM或准TEM传输线（如同轴线、微带线、带状线等），至少可以从理论上定义端口的电压和电流。



$$V = \int_{+}^{-} \vec{E} \cdot d\vec{l}$$

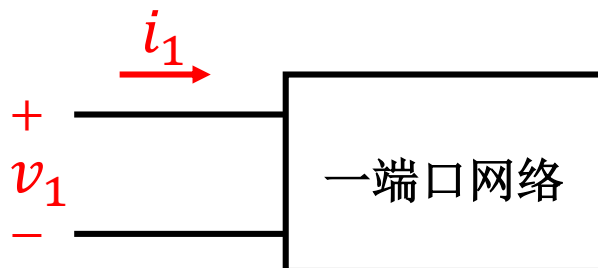
$$I = \oint_{C^{+}} \vec{H} \cdot d\vec{l}$$

$$Z_0 = \frac{V}{I}$$



阻抗矩阵的定义

一端口网络



$$v_1 = Z_1 \cdot i_1$$

$$Z_1 = \frac{v_1}{i_1}$$



二端口网络



$$v_1 = Z_{11} \cdot i_1 + Z_{12} \cdot i_2$$

$$v_2 = Z_{21} \cdot i_1 + Z_{22} \cdot i_2$$

响应



$$\begin{bmatrix} v_1 \\ v_2 \end{bmatrix} = \begin{bmatrix} Z_{11} & Z_{12} \\ Z_{21} & Z_{22} \end{bmatrix} \cdot \begin{bmatrix} i_1 \\ i_2 \end{bmatrix}$$

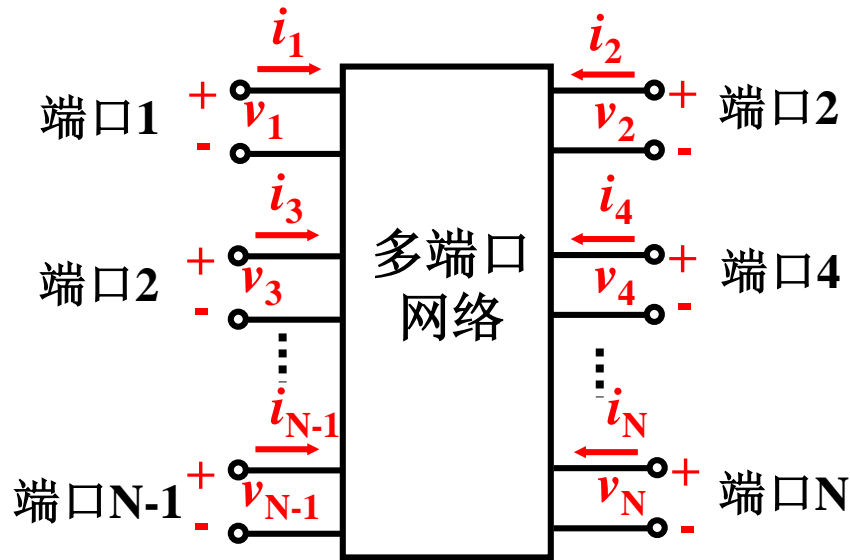
激励



$$Z_{11} = \left. \frac{v_1}{i_1} \right|_{i_2=0} \quad Z_{12} = \left. \frac{v_1}{i_2} \right|_{i_1=0} \quad Z_{22} = \left. \frac{v_2}{i_2} \right|_{i_1=0} \quad Z_{21} = \left. \frac{v_2}{i_1} \right|_{i_2=0}$$



N端口网络



$$\begin{bmatrix} v_1 \\ v_2 \\ \vdots \\ v_N \end{bmatrix} = \begin{bmatrix} Z_{11} & Z_{12} & \dots & Z_{1N} \\ Z_{21} & & & \vdots \\ \vdots & & & \vdots \\ Z_{N1} & \dots & \dots & Z_{NN} \end{bmatrix} \begin{bmatrix} i_1 \\ i_2 \\ \vdots \\ i_N \end{bmatrix}$$

阻抗矩阵: $[Z]$

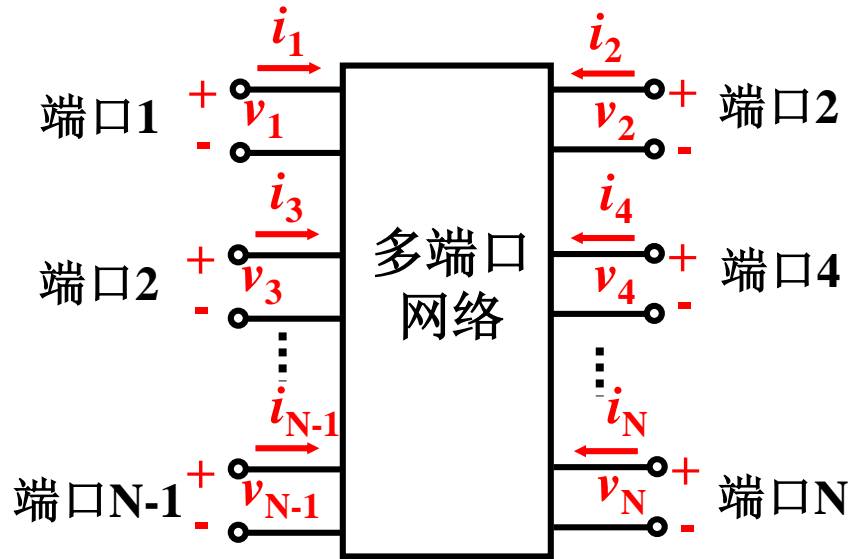
$$Z_{ij} = \left. \frac{v_i}{i_j} \right|_{i_k=0, k \neq j}$$

激励端口j (i_j)，其他端口开路，
测量i端口的电压，就可以得到 Z_{ij}

$$\text{矩阵形式: } [V] = [Z] \cdot [I]$$



导纳矩阵



$$\begin{bmatrix} i_1 \\ i_2 \\ \vdots \\ i_N \end{bmatrix} = \begin{bmatrix} Y_{11} & Y_{12} & \dots & Y_{1N} \\ Y_{21} & \cdot & \cdot & \vdots \\ \vdots & \cdot & \cdot & \vdots \\ Y_{N1} & \dots & \dots & Y_{NN} \end{bmatrix} \cdot \begin{bmatrix} v_1 \\ v_2 \\ \vdots \\ v_N \end{bmatrix}$$

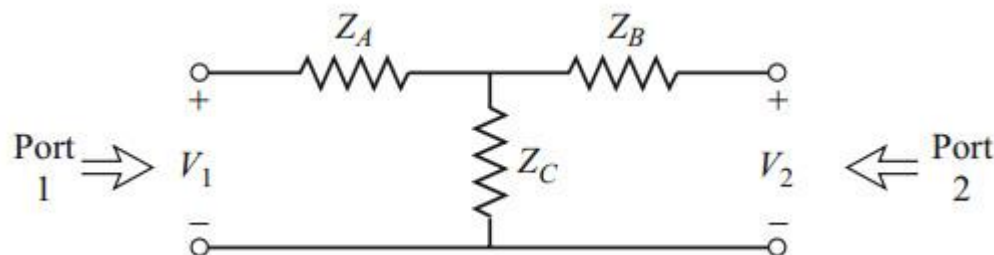
导纳矩阵: $[Y] = [Z]^{-1}$

$$Y_{ij} = \left. \frac{i_i}{v_j} \right|_{v_k=0, k \neq j}$$

激励端口j (v_j)，其他端口短路，
测量i端口的电流，就可以得到 Y_{ij}

$$[I] = [Y] \cdot [V]$$

阻抗矩阵计算举例：



$$Z_{11} = \left. \frac{V_1}{I_1} \right|_{I_2=0} = Z_A + Z_C \quad Z_{12} = \left. \frac{V_1}{I_2} \right|_{I_1=0} = \frac{I_2 Z_C}{I_2} = Z_C$$

$$Z_{22} = \left. \frac{V_2}{I_2} \right|_{I_1=0} = Z_B + Z_C \quad Z_{21} = Z_{12}$$

互易网络： $Z_{ij} = Z_{ji}, Y_{ij} = Y_{ji}$

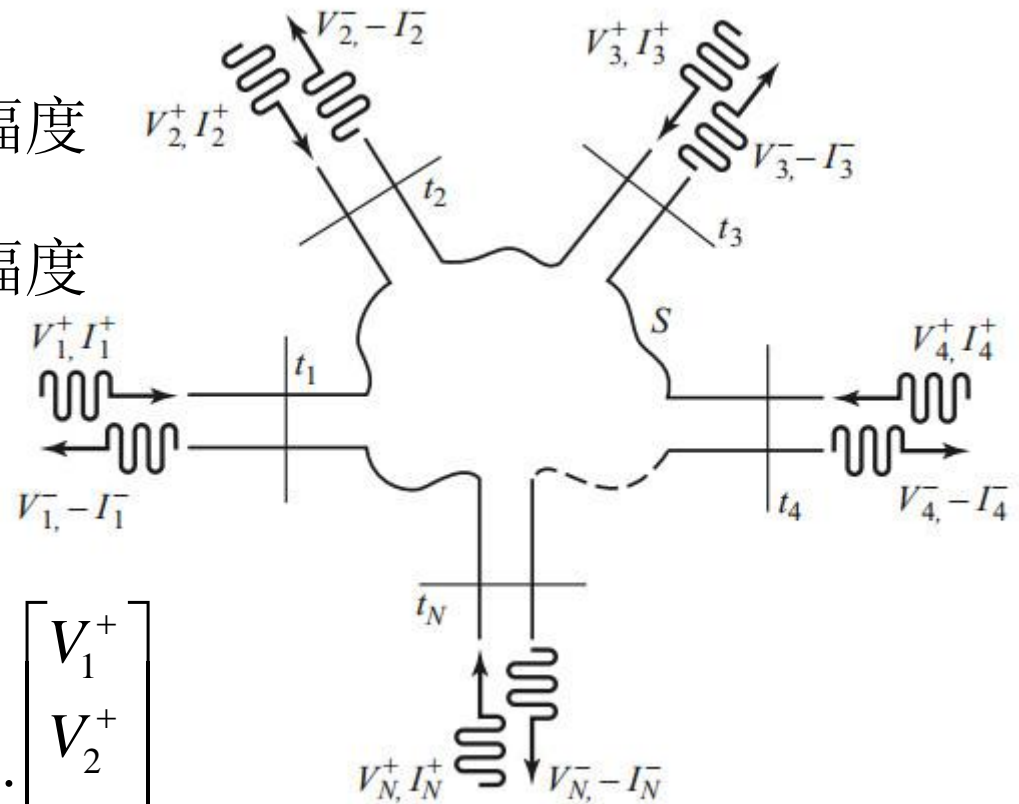
散射矩阵与s参数

V_N^+ 为N端口入射电压波的幅度

V_N^- 为N端口反射电压波的幅度

采用散射矩阵将 V_N^+ , V_N^-
联系起来

$$\begin{bmatrix} V_1^- \\ V_2^- \\ \vdots \\ V_N^- \end{bmatrix} = \begin{bmatrix} S_{11} & S_{12} & \dots & S_{1N} \\ S_{21} & & & \vdots \\ \vdots & & & \vdots \\ S_{N1} & \dots & \dots & S_{NN} \end{bmatrix} \cdot \begin{bmatrix} V_1^+ \\ V_2^+ \\ \vdots \\ V_N^+ \end{bmatrix}$$



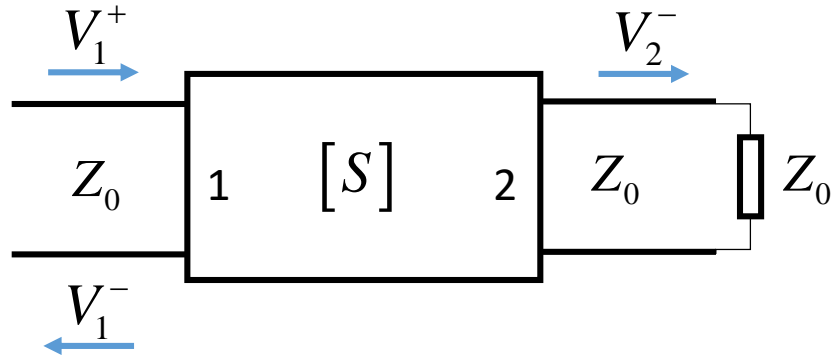
$$[V^-] = [S] \cdot [V^+]$$

s参数



散射矩阵与s参数

$$S_{ij} = \left. \frac{V_i^-}{V_j^+} \right|_{V_k^+ = 0, k \neq j}$$



$$S_{11} = \left. \frac{V_1^-}{V_1^+} \right|_{V_2^+ = 0}$$

端口2匹配时，端口1的反射系数；

$$S_{21} = \left. \frac{V_2^-}{V_1^+} \right|_{V_2^+ = 0}$$

端口2匹配时，端口1到端口2的传输系数；

$$S_{22} = \left. \frac{V_2^-}{V_2^+} \right|_{V_1^+ = 0}$$

端口1匹配时，端口2的反射系数；

$$S_{12} = \left. \frac{V_1^-}{V_2^+} \right|_{V_1^+ = 0}$$

端口1匹配时，端口2到端口1的传输系数；



在工程中也常用s参数的对数表示。

$$|S_{11}|(\text{dB}) = 20\log_{10} |S_{11}|$$

$$|S_{21}|(\text{dB}) = 20\log_{10} |S_{21}|$$

$$|S_{12}|(\text{dB}) = 20\log_{10} |S_{12}|$$

$$|S_{22}|(\text{dB}) = 20\log_{10} |S_{22}|$$



在微波工程中，当用对数单位表示时，一般都是指功率之间的关系。

$$|S_{11}|(\text{dB}) = 10 \log_{10} \frac{P_1^-}{P_1^+}$$

$$P_1^- = \frac{|V_1^-|^2}{2Z_0} \quad \text{端口1反射功率}$$

$$P_1^+ = \frac{|V_1^+|^2}{2Z_0} \quad \text{端口1入射功率}$$

$$|S_{11}|(\text{dB}) = 10 \log_{10} \frac{|V_1^-|^2}{|V_1^+|^2} = 20 \log_{10} |S_{11}|$$



举例:

$|S_{11}|(\text{dB}) = 0 \text{ dB}$ 表示1端口短路或开路, 反射系数为1

$|S_{11}|(\text{dB}) = -10 \text{ dB}$ 表示1端口反射功率为入射功率的0.1倍。

$|S_{11}|(\text{dB}) = -\infty$ 表示1端口反射系数为0, 端口完全匹配, 没有反射信号。

$|S_{21}|(\text{dB}) = 10\text{dB}$ 表示2端口输出信号功率为1端口输入信号的10倍。

$|S_{21}|(\text{dB}) = -10\text{dB}$ 表示2端口输出信号功率为1端口输入信号的0.1倍。

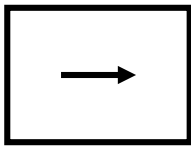
- 互易网络

$$[S] = [S]^t \quad S_{ij} = S_{ji} \quad \text{无源网络基本上都是互易的}$$

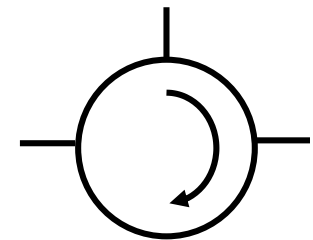
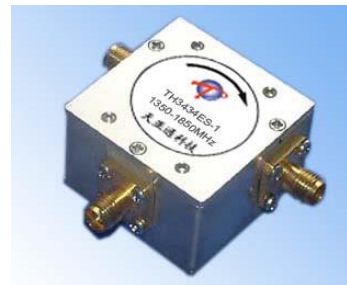
- 无耗网络

$$[S]^t [S]^* = [U] \quad \text{散射矩阵为幺正矩阵}$$

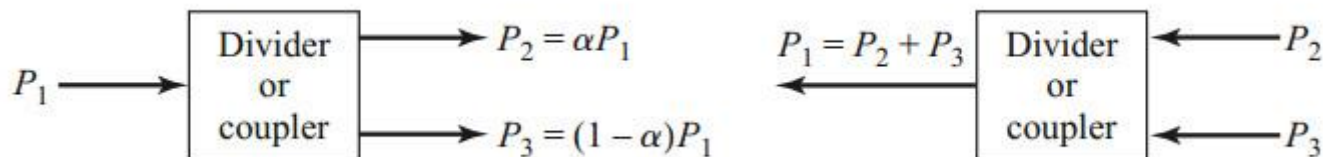
无源非互易器件：



隔离器



环行器



三端口网络特性

$$[S] = \begin{bmatrix} S_{11} & S_{12} & S_{13} \\ S_{21} & S_{22} & S_{23} \\ S_{31} & S_{32} & S_{33} \end{bmatrix}$$

不包含各向异性材料的无源器件是互易的，然而所有端口都匹配的三端口无耗互易网络是不存在的。

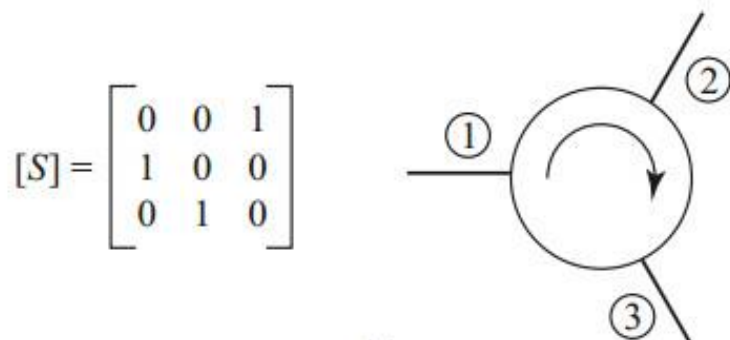
证明：

互易匹配 $\Rightarrow [S] = \begin{bmatrix} 0 & S_{12} & S_{13} \\ S_{12} & 0 & S_{23} \\ S_{13} & S_{23} & 0 \end{bmatrix}$ 无耗 \Rightarrow

$$\begin{aligned} |S_{12}|^2 + |S_{13}|^2 &= 1, \\ |S_{12}|^2 + |S_{23}|^2 &= 1, \\ |S_{13}|^2 + |S_{23}|^2 &= 1, \\ S_{13}^* S_{23} &= 0, \\ S_{23}^* S_{12} &= 0, \\ S_{12}^* S_{13} &= 0. \end{aligned}$$

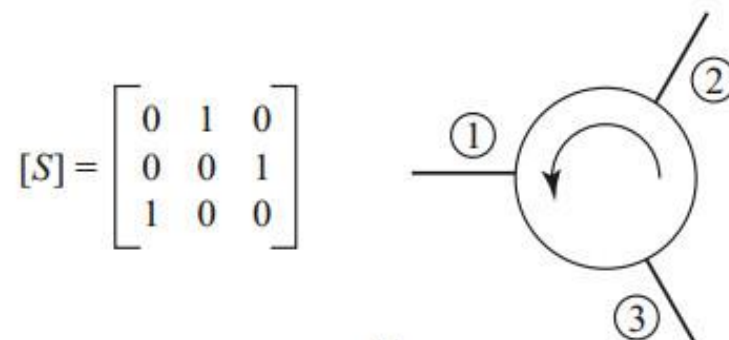
若三端口网络是非互易的，则可以满足匹配和无耗的条件

环行器可以满足该条件



$$S_{12} = S_{23} = S_{31} = 0$$

$$|S_{21}| = |S_{32}| = |S_{13}| = 1$$

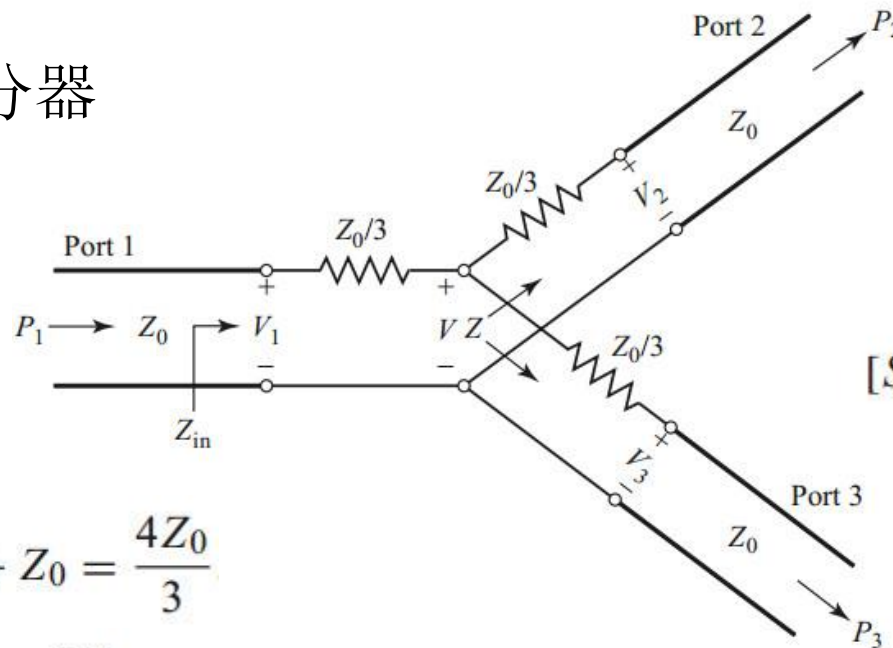


$$S_{21} = S_{32} = S_{13} = 0$$

$$|S_{12}| = |S_{23}| = |S_{31}| = 1$$

若三端口网络有损耗，则可以满足匹配和互易的条件

电阻功分器



$$[S] = \frac{1}{2} \begin{bmatrix} 0 & 1 & 1 \\ 1 & 0 & 1 \\ 1 & 1 & 0 \end{bmatrix}$$

$$Z = \frac{Z_0}{3} + Z_0 = \frac{4Z_0}{3}$$

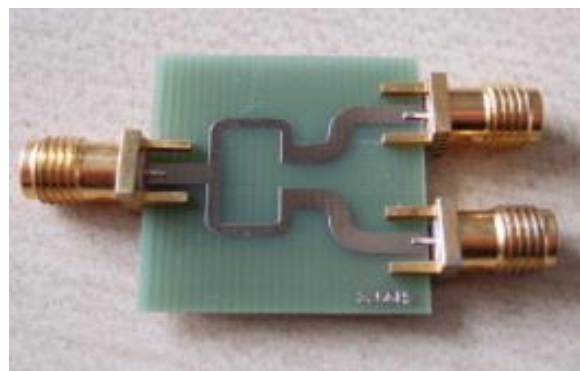
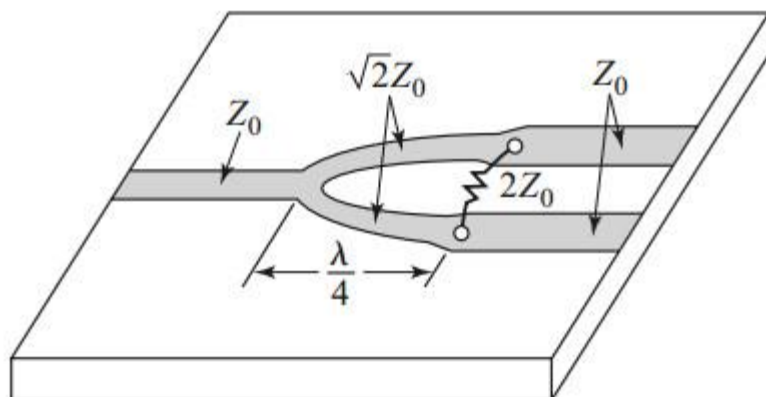
$$Z_{in} = \frac{Z_0}{3} + \frac{2Z_0}{3} = Z_0$$

$$P_{in} = \frac{1}{2} \frac{V_1^2}{Z_0}$$

$$P_2 = P_3 = \frac{1}{2} \frac{(1/2 V_1)^2}{Z_0} = \frac{1}{8} \frac{V_1^2}{Z_0} = \frac{1}{4} P_{in}$$

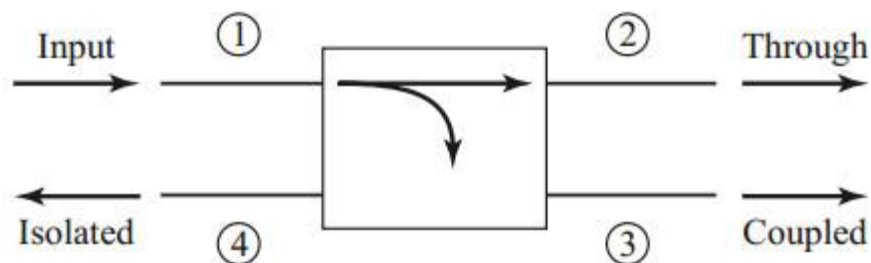
有一半功率损耗在电阻上

Wilkinson功分器 应用最广的功分器



四端口网络（定向耦合器）

存在互易、无耗且各端口匹配的四端口网络



$$[S] = \begin{bmatrix} 0 & \alpha & j\beta & 0 \\ \alpha & 0 & 0 & j\beta \\ j\beta & 0 & 0 & \alpha \\ 0 & j\beta & \alpha & 0 \end{bmatrix}$$

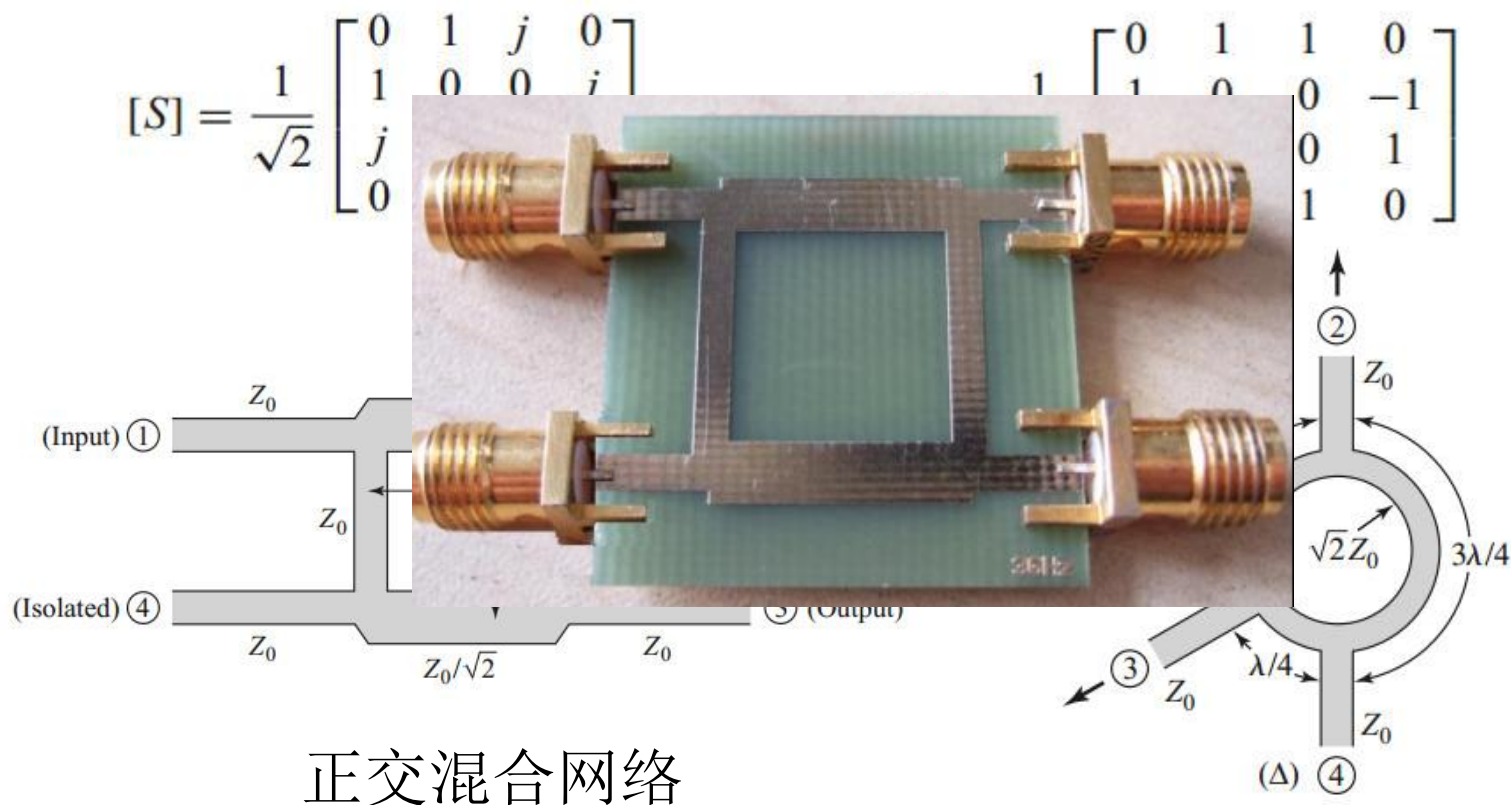
对称耦合器

$$\alpha^2 + \beta^2 = 1$$

$$[S] = \begin{bmatrix} 0 & \alpha & \beta & 0 \\ \alpha & 0 & 0 & -\beta \\ \beta & 0 & 0 & \alpha \\ 0 & -\beta & \alpha & 0 \end{bmatrix}$$

反对称耦合器

定向耦合器的几种特殊形式



S参数广泛应用于微波电路的设计、是衡量微波元件指标的主要参数、是电磁场分析的目标参数。

S参数可以通过矢量网络分析仪进行测量。

